

地下埋設式 1t 縦型バルク貯槽の発生能力

- 付表 1.13, 付図 1.13 1t 縦型, 充填時組成 C_3H_8 : 95mol%, 地中温度: 10°C, 充填時液温: 10°C
 付表 1.14, 付図 1.14 1t 縦型, 充填時組成 C_3H_8 : 95mol%, 地中温度: 5°C, 充填時液温: 5°C
 付表 1.15, 付図 1.15 1t 縦型, 充填時組成 C_3H_8 : 95mol%, 地中温度: 0°C, 充填時液温: 0°C

付表 1.13 1t 縦型, 充填時組成 C_3H_8 : 95mol%, 地中温度: 10°C, 充填時液温: 10°C

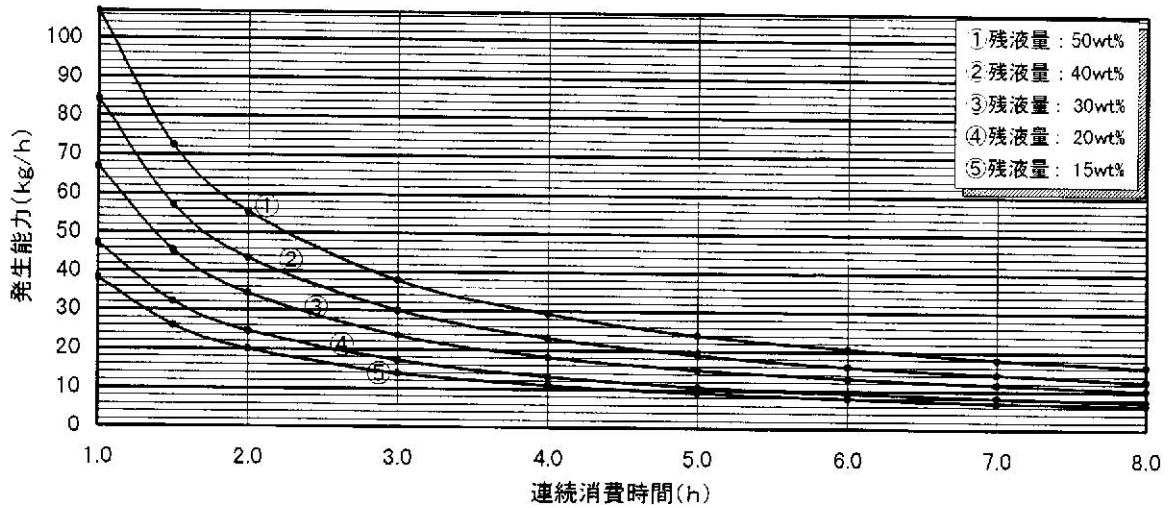
充填時液相 プロパン分 (mol%)	地中 温度 (°C)	充填 液温 (°C)	連続消 費時間 (h)	残液量 15wt%		残液量 20wt%		残液量 30wt%		残液量 40wt%		残液量 50wt%	
				開始 (°C)	発生能力 (kg/h)	開始 (°C)	発生能力 (kg/h)	開始 (°C)	発生能力 (kg/h)	開始 (°C)	発生能力 (kg/h)	開始 (°C)	発生能力 (kg/h)
95	10	10	1.0	-3	38.2	-5	47.2	-6	66.9	-10	84.3	-6	106.8
			1.5	-3	26.0	-5	32.1	-6	45.4	-10	57.1	-6	72.4
			2.0	-3	19.9	-5	24.6	-7	34.3	-10	43.5	-6	55.3
			3.0	-3	13.9	-5	17.1	-8	23.5	-10	30.0	-7	37.8
			4.0	-3	10.9	-6	13.1	-8	18.2	-11	23.0	-7	29.3
			5.0	-3	9.1	-7	10.7	-8	15.1	-11	19.0	-8	24.0
			6.0	-3	7.9	-7	9.3	-8	13.0	-12	16.1	-8	20.6
			7.0	-4	6.9	-8	8.1	-8	11.6	-12	14.2	-9	18.0
8.0	-4	6.3	-8	7.4	-9	10.3	-13	12.6	-9	16.3			

付表 1.14 1t 縦型, 充填時組成 C_3H_8 : 95mol%, 地中温度: 5°C, 充填時液温: 5°C

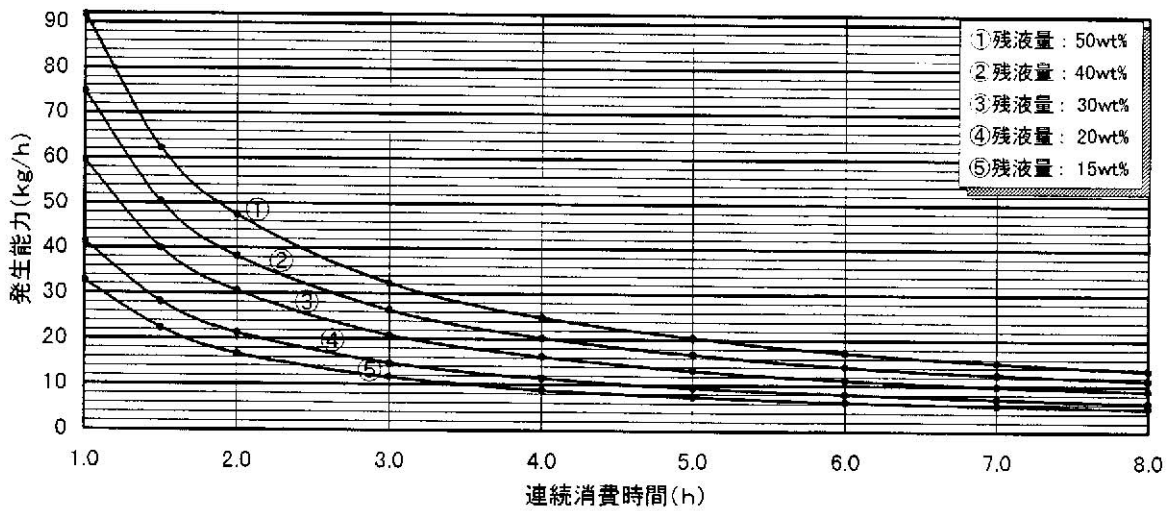
充填時液相 プロパン分 (mol%)	地中 温度 (°C)	充填 液温 (°C)	連続消 費時間 (h)	残液量 15wt%		残液量 20wt%		残液量 30wt%		残液量 40wt%		残液量 50wt%	
				開始 (°C)	発生能力 (kg/h)	開始 (°C)	発生能力 (kg/h)	開始 (°C)	発生能力 (kg/h)	開始 (°C)	発生能力 (kg/h)	開始 (°C)	発生能力 (kg/h)
95	5	5	1.0	-6	32.7	-7	41.3	-7	59.4	-11	74.7	-12	91.8
			1.5	-6	22.3	-7	28.1	-8	39.9	-12	50.2	-12	62.1
			2.0	-7	16.7	-8	21.2	-8	30.5	-12	38.2	-12	47.3
			3.0	-7	11.6	-8	14.7	-9	20.8	-12	26.3	-13	32.2
			4.0	-8	8.9	-8	11.4	-9	16.2	-12	20.3	-13	24.8
			5.0	-8	7.4	-8	9.5	-10	13.2	-12	16.8	-13	20.4
			6.0	-8	6.4	-8	8.2	-11	11.2	-13	14.2	-14	17.3
			7.0	-8	5.7	-9	7.2	-11	9.9	-13	12.5	-15	15.1
8.0	-8	5.2	-10	6.4	-11	9.0	-13	11.3	-15	13.5			

付表 1.15 1t 縦型, 充填時組成 C_3H_8 : 95mol%, 地中温度: 0°C, 充填時液温: 0°C

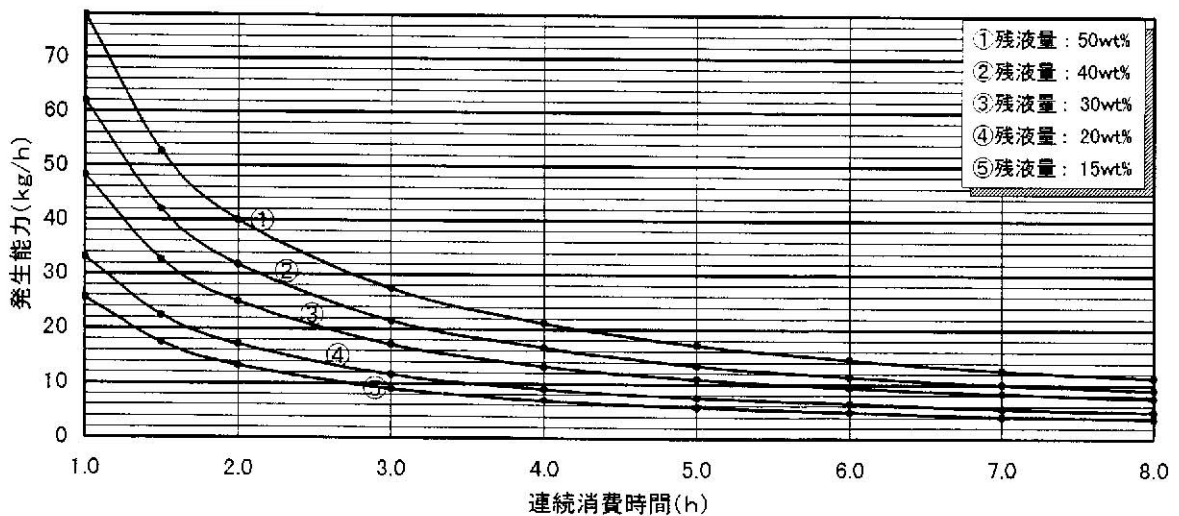
充填時液相 プロパン分 (mol%)	地中 温度 (°C)	充填 液温 (°C)	連続消 費時間 (h)	残液量 15wt%		残液量 20wt%		残液量 30wt%		残液量 40wt%		残液量 50wt%	
				開始 (°C)	発生能力 (kg/h)	開始 (°C)	発生能力 (kg/h)	開始 (°C)	発生能力 (kg/h)	開始 (°C)	発生能力 (kg/h)	開始 (°C)	発生能力 (kg/h)
95	0	0	1.0	-12	25.6	-13	33.1	-14	48.2	-17	62.0	-16	77.9
			1.5	-12	17.4	-13	22.4	-14	32.6	-17	41.9	-16	52.6
			2.0	-12	13.3	-13	17.1	-14	24.9	-17	31.8	-16	40.0
			3.0	-13	9.0	-14	11.6	-14	17.1	-18	21.5	-16	27.4
			4.0	-14	6.8	-14	9.0	-14	13.2	-18	16.6	-16	21.1
			5.0	-14	5.7	-14	7.4	-14	10.9	-19	13.4	-17	17.1
			6.0	-14	4.9	-14	6.4	-14	9.4	-19	11.4	-17	14.6
			7.0	-15	4.2	-15	5.5	-14	8.3	-19	10.0	-18	12.6
8.0	-15	3.8	-15	5.0	-14	7.4	-19	9.0	-18	11.3			



付図 1.13 1t縦型, 充填時組成 C_3H_8 : 95mol%, 地中温度: $10^{\circ}C$, 充填時温度: $10^{\circ}C$



付図 1.14 1t縦型, 充填時組成 C_3H_8 : 95mol%, 地中温度: $5^{\circ}C$, 充填時温度: $5^{\circ}C$



付図 1.15 1t縦型, 充填時組成 C_3H_8 : 95mol%, 地中温度: $0^{\circ}C$, 充填時温度: $0^{\circ}C$